

(HI,xn $\gamma$ ) 2005CaZU

Type	Author	Citation	History
Full Evaluation	J. K. Tuli	ENSDF	Literature Cutoff Date
			23-Dec-2009

$^{90}\text{Zr}(^{92}\text{Mo},\text{P})$ , Gammashere; measured,  $\alpha$ ,  $\gamma$ ,  $\gamma\gamma$ .

 $^{181}\text{TI}$  Levels

E(level)	J $^\pi$	T $_{1/2}$	E(level)	J $^\pi$	E(level)	J $^\pi$
0.0	1/2 $^+$		1644 <sup>#</sup>	(15/2 $^-$ )	3655 <sup>#</sup>	(27/2 $^-$ )
258	3/2 $^+$		1909 <sup>‡</sup>	(21/2 $^-$ )	x	(11/2 $^-$ )
823	(5/2 $^+$ )		1923 <sup>@</sup>	(13/2 $^+$ )	237+x <sup>&amp;</sup>	(13/2 $^+$ )
834	9/2 $^-$	$\approx$ 1 ms	2026 <sup>†</sup>	(19/2 $^-$ )	392+x <sup>&amp;</sup>	(17/2 $^+$ )
1030 <sup>@</sup>	(1/2 $^+$ )		2056 <sup>#</sup>	(19/2 $^-$ )	645+x <sup>&amp;</sup>	(21/2 $^+$ )
1221 <sup>‡</sup>	(13/2 $^-$ )		2360 <sup>‡</sup>	(25/2 $^-$ )	990+x <sup>&amp;</sup>	(25/2 $^+$ )
1250 <sup>@</sup>	(5/2 $^+$ )		2366 <sup>@</sup>	(17/2 $^+$ )	1284+x	(23/2 $^+$ )
1263 <sup>†</sup>	(11/2 $^-$ )		2501 <sup>†</sup>	(23/2 $^-$ )	1419+x <sup>&amp;</sup>	(29/2 $^+$ )
1294 <sup>#</sup>	(11/2 $^-$ )		2534 <sup>#</sup>	(23/2 $^-$ )	1674+x	(27/2 $^+$ )
1529 <sup>‡</sup>	(17/2 $^-$ )		2861 <sup>‡</sup>	(29/2 $^-$ )	1924+x <sup>&amp;</sup>	(33/2 $^+$ )
1547 <sup>@</sup>	(9/2 $^+$ )		3026 <sup>†</sup>	(27/2 $^-$ )	2501+x <sup>&amp;</sup>	(37/2 $^+$ )
1618 <sup>†</sup>	(15/2 $^-$ )		3072 <sup>#</sup>	(27/2 $^-$ )		

<sup>†</sup> Band(A): Cascade-1.

<sup>‡</sup> Band(B): Cascade-2.

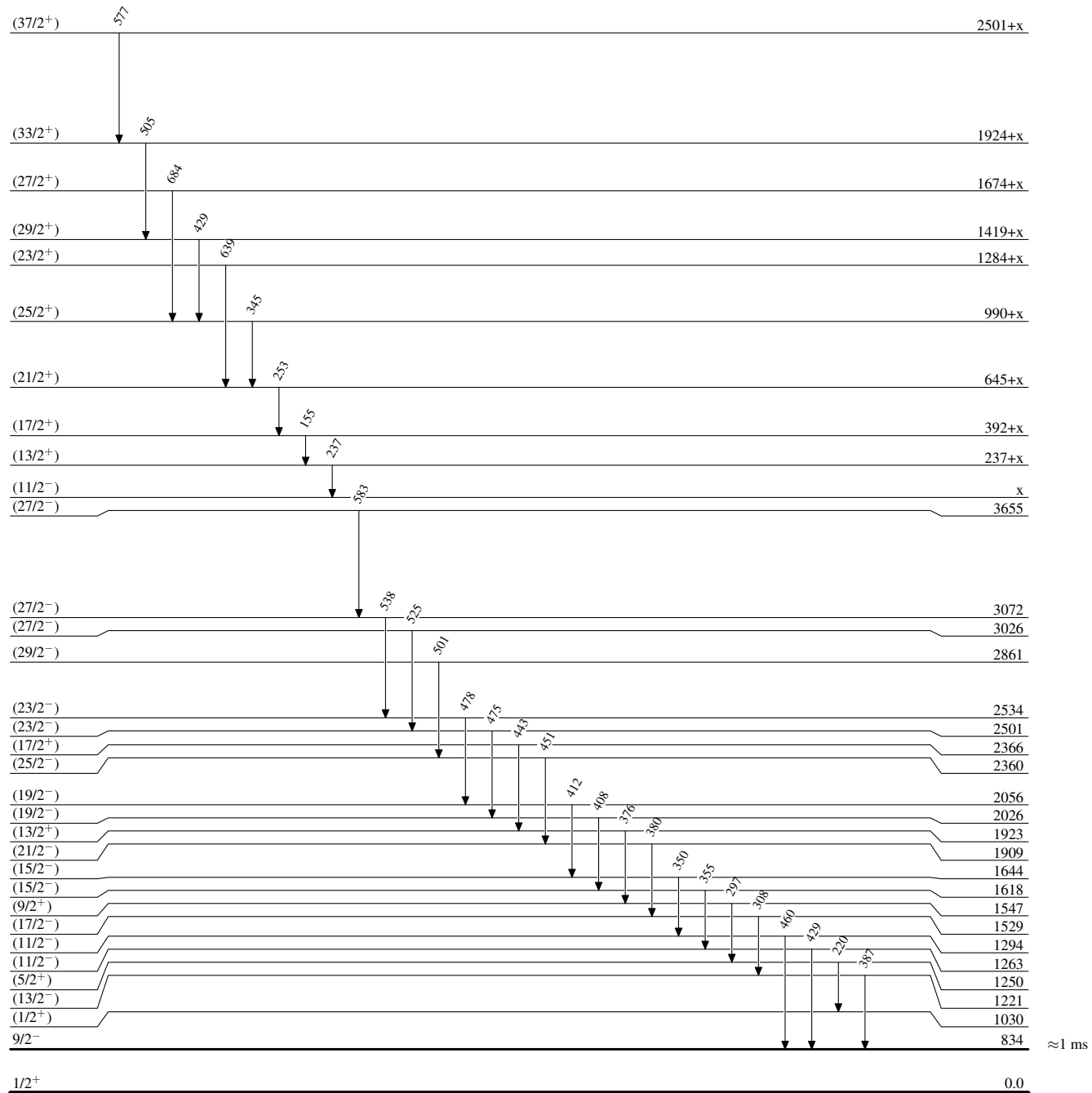
<sup>#</sup> Band(C): Cascade-3.

<sup>@</sup> Band(D): Cascade-4.

& Band(E): Cascade-5.

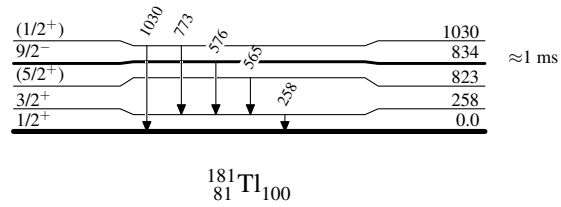
 $\gamma(^{181}\text{TI})$ 

E $_\gamma$	E $_i$ (level)	J $^\pi_i$	E $_f$	J $^\pi_f$	E $_\gamma$	E $_i$ (level)	J $^\pi_i$	E $_f$	J $^\pi_f$
155	392+x	(17/2 $^+$ )	237+x	(13/2 $^+$ )	443	2366	(17/2 $^+$ )	1923	(13/2 $^+$ )
220	1250	(5/2 $^+$ )	1030	(1/2 $^+$ )	451	2360	(25/2 $^-$ )	1909	(21/2 $^-$ )
237	237+x	(13/2 $^+$ )	x	(11/2 $^-$ )	460	1294	(11/2 $^-$ )	834	9/2 $^-$
253	645+x	(21/2 $^+$ )	392+x	(17/2 $^+$ )	475	2501	(23/2 $^-$ )	2026	(19/2 $^-$ )
258	258	3/2 $^+$	0.0	1/2 $^+$	478	2534	(23/2 $^-$ )	2056	(19/2 $^-$ )
297	1547	(9/2 $^+$ )	1250	(5/2 $^+$ )	501	2861	(29/2 $^-$ )	2360	(25/2 $^-$ )
308	1529	(17/2 $^-$ )	1221	(13/2 $^-$ )	505	1924+x	(33/2 $^+$ )	1419+x	(29/2 $^+$ )
345	990+x	(25/2 $^+$ )	645+x	(21/2 $^+$ )	525	3026	(27/2 $^-$ )	2501	(23/2 $^-$ )
350	1644	(15/2 $^-$ )	1294	(11/2 $^-$ )	538	3072	(27/2 $^-$ )	2534	(23/2 $^-$ )
355	1618	(15/2 $^-$ )	1263	(11/2 $^-$ )	565	823	(5/2 $^+$ )	258	3/2 $^+$
376	1923	(13/2 $^+$ )	1547	(9/2 $^+$ )	576	834	9/2 $^-$	258	3/2 $^+$
380	1909	(21/2 $^-$ )	1529	(17/2 $^-$ )	577	2501+x	(37/2 $^+$ )	1924+x	(33/2 $^+$ )
387	1221	(13/2 $^-$ )	834	9/2 $^-$	583	3655	(27/2 $^-$ )	3072	(27/2 $^-$ )
408	2026	(19/2 $^-$ )	1618	(15/2 $^-$ )	639	1284+x	(23/2 $^+$ )	645+x	(21/2 $^+$ )
412	2056	(19/2 $^-$ )	1644	(15/2 $^-$ )	684	1674+x	(27/2 $^+$ )	990+x	(25/2 $^+$ )
429	1419+x	(29/2 $^+$ )	990+x	(25/2 $^+$ )	773	1030	(1/2 $^+$ )	258	3/2 $^+$
429	1263	(11/2 $^-$ )	834	9/2 $^-$	1030	1030	(1/2 $^+$ )	0.0	1/2 $^+$

(HI,xn $\gamma$ ) 2005CaZULevel Scheme

(HI,xn $\gamma$ )    2005CaZU

Level Scheme (continued)



(HI,xn $\gamma$ ) 2005CaZU